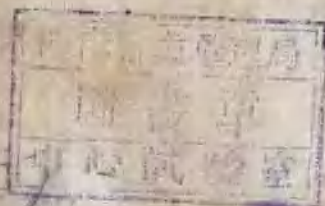


4383

# 開閨設計原理

王子平編譯



龍門聯合書局出版

0003877

TM5

A016

# 開關設計原理

Kesselring 著

王子平譯

龍門聯合書局出版

## 譯序

在以往國內專電工製造者，多偏重於電機及變壓器等，而於開關方面却很少有人問津，以致造成有關這方面的知識及技術人員都極度缺乏。

新中國建設伊始，這方面的需要自不待言，我們必須很快的把上述情況扭轉過來。

本書原作者為德國 Fritz Kesselring，其內容偏重於開關設計基礎理論之闡述，於讀者或有一定的幫助。

譯誤之處，請不吝指正。

王子平

## 目 錄

第一章	開關現象.....	1
第二章	導體之設計.....	20
第三章	閃絡與擊穿.....	47
第四章	開關之定額.....	68
第五章	開關設備之運動學.....	82
第六章	輔助器械之設計.....	93

# 第一章 開關現象

在設計任何電器之前，對於線路之啓閉以及故障所引起之各種現象，均應有充分之瞭解。欲研究一開關之作用，則必須洞悉線路之電壓、電流、電阻、電感、電容、激磁以及有關機械之特性等。

線路中之情況，可劃分為兩個階段：

(1) 穩定時期 當電流之大小為常數，或隨時間呈週期性變化時。

(2) 瞬變時期 當電路有啓閉，或有突然之變化時。

瞬變時期之發生，係介於線路之最初和最終穩定時期之間，係由於線路之啓閉、短路、調節電阻、變動電機勵磁，以及容電器放電等現象所引起。

引起這種變化之器械，可概括分為下述兩類：

(a) 線路啓閉所用之開關等：如刀形開關、接觸器、油開關等。

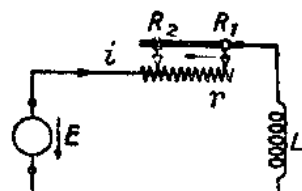
(b) 調節電流大小所用之調節設備等：如電阻、啓動器、電池開關等。

## 直流線路

假如吾人研究調節一可變之電阻，則知其最後之變化，需要看電阻之調節如何。在一定時間內，可以使電阻由  $R_1$  逐漸變為一較小的  $R_2$ 。但是，也可使此變化，在一極短時間內，利用一支開關使其完成。此啓閉時間之久暫，可利用曲線或數學方法表達之，此即

下面將要談到之閏閈函數。

於瞬變時期之末端，接着就可能有很多的最終穩定情況，故一



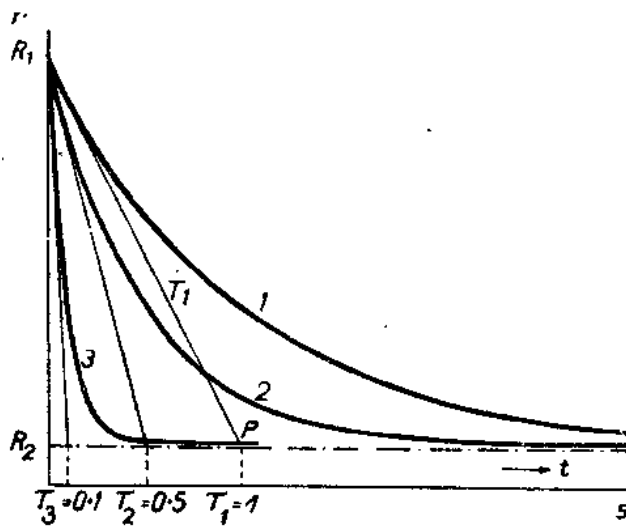
卷之四

支啓閉器，必須能針對某些情況，而起應有之作用。茲舉例說明之。

如第 1 圖，其中有一直流電機，一可變電阻  $R$ ，一固定電感  $L$ 。當  $t=0$ ，電阻  $R$  縱完全割在電路以內。然後令

電阻隨時間按指數大小關係而遞減。即

人對此曲線之幾何特性已經熟悉，則可於  $R_1$  處作一切線和  $t$ -軸相



第2課

交。此交點所表示之時間  $t$ , 即謂之此線路之“時間常數”。第(1)式亦即所謂之在已知條件下之開關函數。

在這段時間，電阻減去了  $(R_1 - R_2)(1 - \frac{1}{e})$ ，尚餘有  $(R_1 - R_2)\frac{1}{e}$ ，其中  $e = 2.718$ ，第 2 圖中之曲線 2、3 分別代表當  $\tau = 0.5$ ，和  $0.1$  時之情形。

當電阻逐漸減小，電流即逐漸增加，結果電機之端電壓變低。關於電壓與電流間之關係，如果吾人表之以曲線，則即成所謂之電機特性曲線也（參閱第3圖）。關於尋求電流隨時間變化之情形，用下述方法即可很易於求得。在啓閉前後之穩定電流  $I_1$  與  $I_2$ ，吾人熟知，端電壓必須等於  $iR$  降落，故

利用  $iR_1$  及  $iR_2$  之值，即可求得斜線  $g_1, g_2$  分別與  $i$ -軸成  $\alpha_1$  及  $\alpha_2$  之夾角，故

$$\tan \alpha_1 = \frac{E_1}{I_1} = R_1$$

$$\tan \alpha_2 = \frac{E_2}{I_2} = R_2$$

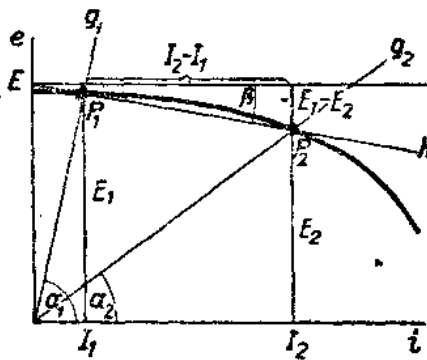
斜線  $g_1, g_2$  分別與曲線  $e=f(i)$  相交於  $P_1, P_2$  兩點。

必須用數學關係將端電壓及電流間之關係表出以後，方可計算開關函數。例如在前例中（參閱第3圖），端電壓由  $E_1$  變為  $E_2$ ，其變化情形由斜線  $h$  即可察得。因端電壓之變化係電流之函數，故吾人可寫作：

$$e = E - i \tan S$$

其中

$$\tan \beta = \frac{E_1 - E_2}{I_2 - I_1} \dots \quad (3)$$



第3編

不過此式之存在必須合乎以下諸條件：

- (1)  $e-i$  特性曲線必須適用於  $I_1, I_2$ 。當有電弧時，此條件即不適合，故動態和靜態必須首先分清楚。
  - (2) 負載電流決不能大過  $I_2$ 。

在此二條件下，線路之微分方程式便可寫作

將(4)代入(3),得

$$E - i \tan \beta = \left[ R_1 e^{-\frac{t}{T}} + R_2 \right] i + L \frac{di}{dt} \dots \dots \dots (5)$$

$R_y = \tan \beta$ 。電機之感應電勢為  $E$ ，則端電壓即為

$$e = E - iR$$

不過此結果尚有一限制條件，即電流不能大於  $I_2$ （參閱第3圖）。假如大於  $I_2$ ，則斜線  $b$  即不能相應於  $e$  之特性曲線。 $R_2$  之值若代入式(5)則得

由之，吾人得知電流之變化率  $\frac{di}{dt}$ ，在任何時刻如乘以  $L$  即等於上式之右端。然因  $i$  之係數是時間  $t$  之函數，並非常數，故此微分方程式之解並不簡單。假設開關函數中之時間常數  $\tau$  減小時，則  $e^{-\frac{t}{\tau}}$  即隨之而變小。例如  $\tau = \frac{1}{1000}$  秒， $t = \frac{1}{100}$  秒則  $e^{-10} = 0.000045$ 。此即充分說明，假如時間  $t > \frac{1}{100}$  秒時，則  $R_1 e^{-\frac{t}{\tau}}$  實際上即可看做是零。因之吾人可把上述之方程式改爲

此式之係數爲常數，故其解可極易求得之。

設式(6)之  $\tau$  趨近於零，則式(7)即頗適用於當  $t$  值很小之情況。依據數學原理，電流  $i$  之變化應該能用一  $i$ 、 $t$ 、 $\tau$  之函數表示之。即

$$\frac{di}{dt} = f(i, t, \tau).$$

微分中曾有一很重要之定理，就是說假如一微分式之右端爲 $i, t, \tau$ 三數之定函數，則其解（在吾人現在之情況下爲電流  $i$  當隨參數  $\tau$  而變。換言之，當  $\tau=0$  時  $i$  將趨近於一極限值）。 $\tau=0$ ，亦就是說在短路時電阻  $r$  由  $R_1$  變成了  $R_2$ 。利用這種方法來計算開

關函數，在數學上之方便處是係數為常數，易於求解。實際上，開關函數也不可能為極度短的時間。一般言之在固定時間內，式(7)是足夠正確了。惟獨有了上述之條件，限制此式將不能適用於所有一般之情況。令  $R = R_1 + R_2$ ，代入(7)則得

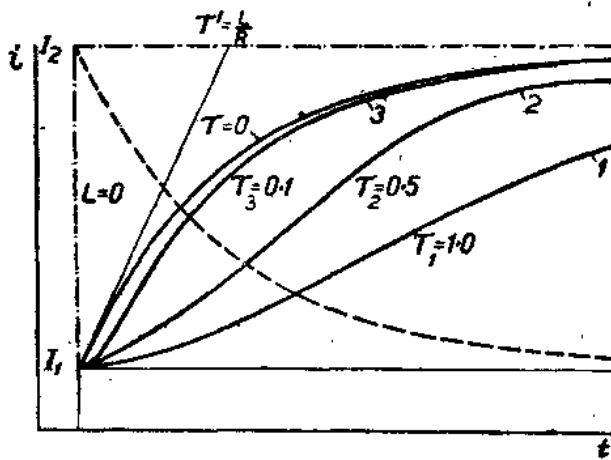
此方程式之解爲

$i_f$  = 瞬變電流之最終值。由圖(4)知如  $I_1$  為  $t=0$  時之最初電流值，且  $i_f = I_2 - I_1$ ，

四

$$i = I_1 + (I_2 - I_1)(1 - e^{-\frac{R}{L}t})$$

三



第4回

假如當  $t=0$  時， $r=\infty$ ，亦即線路為中斷情況，然後再猛然將線路連通，則式(9)中之  $I_1=0$ ，所以上式簡化為

第4圖之電流曲線，即係依據(9)式當  $\tau=0$  時畫出的。另外之三條曲線，分別為  $\tau=0.1, 0.5, 1$ 。 $\tau=\frac{L}{R}$ ，其中  $R=R_g+R_s$ 。當  $\tau$  逐漸減小，則曲線 1 即將逐漸向曲線 (2)，曲線 (3) 轉移，直到最後之極限位置  $\tau=0$  時，如圖中和  $i$ -軸平行之曲線所示。然在實際之情況下，線路中之  $L$  絶不等於零。故也絕不可能形成極限位置也。假如令  $\tau$  很快地由  $R_s$  增加到  $R_1$ （與線路之時間常數  $\tau$  相較），則電流之變化情形即如圖中虛線所示。用式表示之為

$$i = I_1 + (I_2 - I_1)e^{-\frac{R}{L}t}, \dots \quad (10)$$

當電流逐漸減小時，當然也可以作出許多類似之曲線。

當 $\tau$ 由小逐漸變大，曲線即逐漸靠近於水平軸。

第5圖中所示，皆係應用中極重要之幾種啓閉情況。在繼續討論以前，尚須假設線路之啓閉非常快。換言之，即  $\tau$  非常小之條件下。

### 容電器經電阻放電

參閱第5圖(a),容電器之端電壓為 $e_c$ ,放電電流為 $i$ ,其大小均以指數大小關係而遞減。放電愈快,則 $\tau = RC$  愈小。最初電流  $I = \frac{E_0}{R}$ 。

電容器經電阻充電(參閱第5圖b)

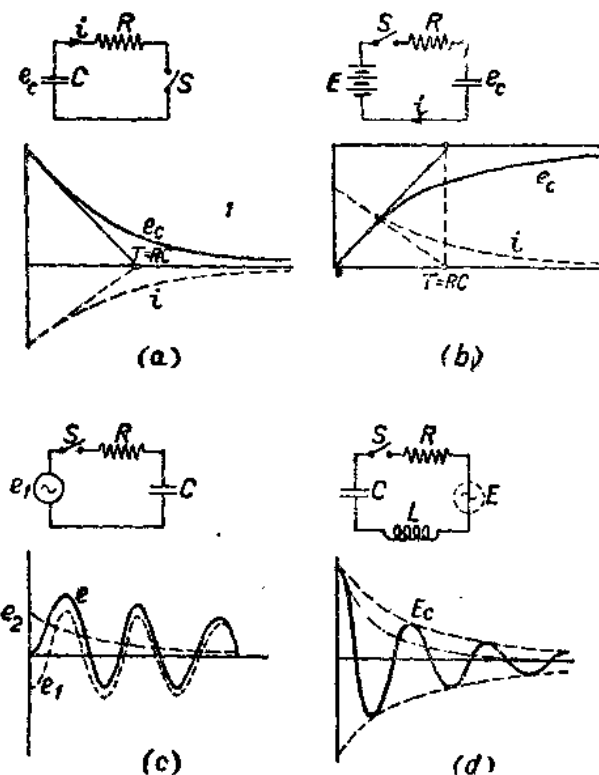
將圖 a 之容電器反向充電，其端電壓  $e_1$  則為

$$e = E(1 - e^{-\frac{t}{RC}})$$

當  $t = \infty$ , 則  $e_c = E$ .

### 交流線路之啓閉 (參閱第 5 圖 c)

加一種定電壓  $e_1$  於一按指數大小關係而減低之電壓  $e_2$  上, 結果電壓為  $e$ .  $e$  之最大值決定於開關閉合的時間, 當電壓  $e$  為極大值之際, 閉合開關, 則最為危險。



第 5 圖

逐漸降落之電壓  $e_2$ ，其最初值即為開關閉合時，其波形上的大小。自第 5 圖(c)之各曲線，即可瞭然電壓波形前後之變化情況，設於電壓為極大值時閉合，則二觸點於臨近時，電弧遂即產生。故開關之閉合，最好不要在電壓為極大  $e = E$  之際。反之，如於電壓  $e = 0$  時閉合，則電壓上升即等於零矣。從同一圖中吾人尚知，如串入一容電器，則於其兩端附近，即可產生約略兩倍於原電壓之高壓。若將容電器取去，以另一電感器代換之，當電壓和零值相近時閉合，則亦有瞬變情況產生，因此時磁場即為極大。反之，若於電壓為極大值時閉合，因此時磁場為零，故無瞬變情形。在閉合輕負載變壓器線路時，此兩種情況均極重要。由於磁飽和關係，電流峰值往往較高，有時幾達十倍於滿載電流。限制此種衝流之方法，有時有利用充電電阻者。

### 諧振

第 5 圖(d)係一諧振電路。有電阻、電容及電感。設電容  $C$  經充電後，電壓為  $E$  時，將開關  $S$  閉合，電路中途有電流產生。此電流不僅在電感  $L$  建立一磁場，同時在電阻  $R$  尚有  $i^2 R$  之耗損。所以原蓄於電容之能量，部份即化為熱能而消失矣。假如在此等電路中電阻  $R = 0$ ，則能量即將往返轉變於電路中，永無休止。當蓄於靜電場之能量  $e^2 \frac{C}{2}$  放出時，因有電流之產生，最後遂有  $i^2 \frac{L}{2}$  之能量轉蓄於磁場。一俟磁場完全建立， $i^2 \frac{L}{2}$  復返轉放出，回於電容  $C$  中。如此往復振盪，其週率為一定值，稱謂諧振線路之自然週率。當電阻  $R = 0$ ，此週率為：

$$\omega = 2\pi f = \frac{1}{\sqrt{LG}}.$$

然於實際情形下，線路因有電阻關係， $R \neq 0$ ，多一電阻耗損，所以起初蓄於容電器中之能量於若干時間後即可全部化為熱而耗去，故其振幅遂逐漸減低。實際上假如於第 5 圖(d)之線路，引入一 A.C. 電源，設其週率正等於自然週率，則因能量之振幅，僅僅受限於電阻；故於電阻很小時，電壓電流均將很大。力學上之單擺，假如所加推力和其自然週率正相吻合時，即為一類似之情形。

斯路

一直流線路斷開之情形可參閱第6圖，其開關S係相互壓緊之二平板，可以滑動。故斷路時尚需要一定時間，兩板方可完全分開。如此裝置之原因，係基於下述之事實：

- (1) 假如開關突然開啓，於理論上講，將有一無限大之電壓產生。

(2) 突然之斷路並不合乎實際事實，因為在通常斷路時，接觸處往往有電弧產生，故電流係逐漸消滅。

間， $T$  為兩板完全分開所需之時間。

則在時間  $t$  的電導為：

$$g = G_0 \left( 1 - \frac{t}{T} \right)$$

其倒數則爲電阻

$$r = \frac{R_0 T}{T - t} \dots \dots \dots \quad (11)$$

此方程式亦係開關函數之另一表示。設電路如無電感，按

姆定律知，在整個時間  $T$  中，電流  $i$  之變化為  $t$  之直線函數。

此如第 7 圖中直線(1)所示。設電路中如有一定值之電感  $L$ ，則電流  $i$  情形即如第 7 圖中之曲線(2)、(3)所示，解第 6 圖線路之微分方程式，則知假如

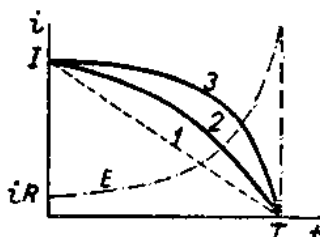
於斷路時方無電弧產生。

開關觸點間之電壓  $e$ , 於  $t = T$  時, 亦即二板形將分開之際, 為

故知祇有在  $\frac{R_0 T}{L} > 1$  條件下,  $e_{t-r}$  方為有限值。此結論對滑動接觸型之開關如集流器及調整器等均極重要。必須遵循此條件,以免發生電弧。但對一般開關設備而言,此點誠不易作到,故由之而生的電弧,勢將延長斷路時間,直到電流中斷為止。

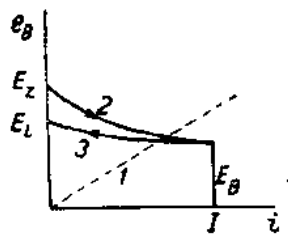
直沫電弧現象

電弧之產生，電極間必須有足夠發生閃絡的電壓  $e_*$ 。由於在較高溫度下電極間游離度之增加，電弧電阻遂逐漸減少，而電流却逐漸增加。此外電弧尚有一特性，即電壓雖然降低，但電流却反而增加。如減小電流，游離度隨而降低，電阻增高，直到電流通過零點時，電弧即告熄滅。電弧熄滅之際，電極間之剩餘電壓稱謂熄滅

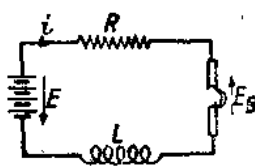


第7回

電壓  $e_1$ 。一般  $e_2$  大於  $e_1$ , 第 8 圖曲線 1 所示, 係在電阻為常數之電路中  $e-i$  特性曲線。曲線 2 所示, 為一定長之電弧, 增加電流時之  $e-i$  情形, 曲線 3 為減小電流時之情形, 其中之最大電流值  $I$  即相當於電弧電壓最小時之電流值。



第8題

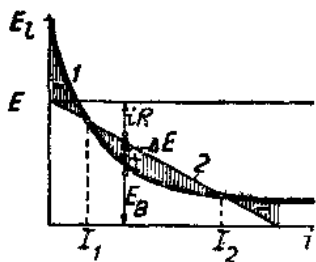


第9回

繪於第9圖中之電路包括一直流電源，電壓為 $e$ ，電阻為 $R$ ，電感為 $L$ ，電弧電壓為 $e_B$ ，此電路之電動勢方程式可以寫作

$$e = Ri + L \frac{di}{dt} + e_B$$

可觀爲



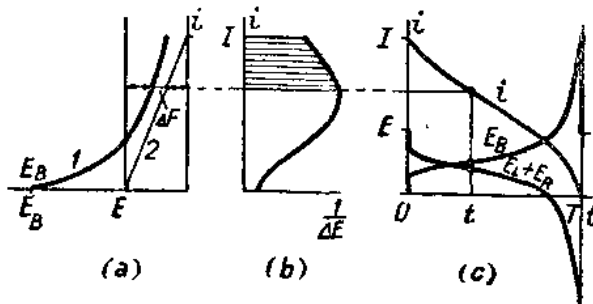
第10回

電弧熄滅之際，電流為零，故  $\frac{di}{dt}$  必須為負。第 10 圖之曲線 1 即係代表當電流減低時電弧之情形，曲線 2 為  $e - iR$  之差，其與  $e_B$  相減，從(14)式知所得即為  $\Delta e$ ，如圖示  $\Delta e$  可正可負。因電流如小於  $I_1$ ，電弧即有熄

滅可能，故  $I_2$  右邊負的部份極不穩定。欲使一開關能很好的完成切斷電路任務，就必須使電弧特性曲線（如曲線 1）位於電阻線之上（如曲線 2）。所以通常，開關多備有特殊裝置以增加弧長。因弧長增加後使特性曲線上揚，可以不再與電阻線相交。故增加  
弧長對空斷開關而言，是極端必要的。

解(14)式中  $d\theta$ , 得

此式極易用圖表出之。第 11 圖 (a) 中曲線 1 係表示一電流逐漸降落之電弧特性曲線。曲線(2)為電路之電阻線。



第 11 题

設  $e_i$  為開關之熄滅電壓，則可仿第 10 圖方法，可從第 11 圖(a)中求出  $\Delta e$ 。對(16)式積分，如第 11 圖(b)畫出  $I$  與  $\frac{1}{\Delta e}$  之面積，其中  $I$  為電路中之最初電流。電流  $i$  隨時間變化之情形如第 11 圖(c)所示，其中同時尚有電弧電壓  $e_B$  之變化情況。 $(e - e_B)$  應